

一个基于 β -[Mo₈O₂₆]和5-(3-吡啶基)-四唑桥连的二核镍配合物构筑的无机-有机杂化化合物

高鹤芸¹ 黄惠娟¹ 杨明星^{*.1,2} 林深^{*.1,2} 陈丽娟²

(¹福建师范大学化学与化工学院,福州 350007)

(²福建物质结构研究所结构化学国家重点实验室,福州 350002)

摘要:通过水热合成了一种有机-无机杂化化合物[Ni₄(3-Hpt)₆(H₂O)₁₀Mo₈O₂₆]·Mo₈O₂₆·10H₂O(3-Hpt=5-(3-吡啶基)-四唑),IR和X-射线单晶衍射实验测定和结构解析结果表明,该化合物是由双支撑形结构的[Ni₄(3-Hpt)₆(H₂O)₁₀Mo₈O₂₆]阳离子, β 构型[Mo₈O₂₆]⁴⁻簇阴离子及晶格水组成的。在阳离子中, β 构型[Mo₈O₂₆]⁴⁻簇通过中心对称的2个端基氧与2个双核配阳离子[Ni₂(3-Hpt)₃(H₂O)₅]⁴⁺的镍原子配位形成双支撑形结构。将所得化合物制成碳糊电极(1-CPE),该电极在酸性水溶液中对亚硝酸根,溴酸根的还原有较好的催化活性。

关键词:多钼酸;晶体结构;电催化

中图分类号:O614.81⁺³ 文献标识码:A 文章编号:1001-4861(2014)08-1757-06

DOI:10.11862/CJIC.2014.282

An Organic-inorganic Hybrid Compound Constructed by β -[Mo₈O₂₆] Cluster and 5-(3-Pyridyl)-1H-tetrazole Bridged Dinuclear Nickel Complex

GAO He-Yun¹ HUANG Hui-Juan¹ YANG Ming-Xing^{*.1,2} LIN Shen^{*.1,2} CHEN Li-Juan^{1,2}

(¹College of Chemistry and Chemical Engineering, Fujian Normal University, Fuzhou 350108, China)

(²State Key Laboratory of Structural Chemistry, Fujian Institute of Research on the Structure of Matter, Chinese Academy of Sciences, Fuzhou 350002, China)

Abstract: An organic-inorganic hybrid compound [Ni₄(3-Hpt)₆(H₂O)₁₀Mo₈O₂₆]·Mo₈O₂₆·10H₂O (3-Hpt=5-(3-Pyridyl)-1H-tetrazole) has been hydrothermally synthesized and structurally characterized by single-crystal X-ray diffraction and IR analysis. The compound consists of one [Ni₄(3-Hpt)₆(H₂O)₁₀Mo₈O₂₆]⁴⁺ cations, one β -[Mo₈O₂₆]⁴⁻ anion and ten water molecules of crystallization. The β -[Mo₈O₂₆]⁴⁻ cluster in cation fragment is covalently linked by binuclear complex [Ni₂(3-Hpt)₃(H₂O)₅]⁴⁺ to form bisupporting polyoxometalate cations. A 3D supramolecular architecture is formed by hydrogen-bonding among the cations, anion and lattice water. Furthermore, the compound bulk-modified carbon-paste electrode (1-CPE) displays good electrocatalytic activity toward the reduction of NaBrO₃ and NaNO₂. CCDC: 943879.

Key words: polyoxomolybdate; crystal structure; electrocatalysis

多金属氧酸盐-有机杂化材料作为一类新型复合材料在催化、导电、磁性、光致变色、非线性光学

材料及生物制药等领域具有广阔的应用前景^[1]。这类化合物的制备是现代化学分子设计的重要内容。

收稿日期:2013-06-11。收修改稿日期:2014-03-12。

国家自然科学基金(No.21171037),福建省科技厅重点项目(No.2008I0013),2012年国家级大学生创新创业训练计划项目资助。

*通讯联系人。E-mail:shenlin@fjnu.edu.cn, mx_zn@163.com;会员登记号:S06001826M(林深),S06N0970M1006(杨明星)。

多钼酸盐作为多金属氧酸盐的一个分支,它具有丰富的结构类型,在固态和溶液中有簇状、链状、层状结构类型。簇状由双核到八核,相同核数的钼簇由于结合不同个数氧还表现许多不同结构,含相同原子数的钼簇还有许多不同的异构体。对于链状、层状结构,不同的构筑单元又可得到不同的结构。由于钼-氧化合物丰富多样的结构类型,以多钼酸作为无机结构单元用来构筑多金属氧酸盐—有机杂化材料是目前多酸化学的一个重要研究方向^[2-3]。由于多酸阴离子带负电荷,在合成无机有机杂化材料时通常选用中性的含氮有机物作为配体。由于四唑衍生物配体具有很强的配位能力。近年来,用它来合成多金属氧酸盐的有机-无机杂化材料的研究引起了人们的关注。目前以钼氧化合物作为无机构筑单元,四唑衍生物为有机组分已合成得到许多结构新颖,性能独特的化合物^[3],在所得化合物中引入的第二过渡金属阳离子多为银、铜、钴、锰离子。以镍作为的第二过渡金属阳离子的化合物还未见文献报道。

多钼酸盐通过改变引入的第二过渡金属阳离子的种类,可以调变其表面电荷密度和氧化还原性能,它可在温和条件下实现快速、连续、可逆的单电子和双电子反应等特性。因此多钼酸盐的多金属氧酸盐及其衍生物兼具氧化还原催化和 Brönsted 酸催化性能,可作为电催化剂^[4-5]、光催化剂^[6-7]、氧化还原催化剂和酸催化剂^[8-11]。本文合成了多钼酸盐的有机-无机杂化化合物 $[Ni_4(3-Hpt)_6(H_2O)_{10}Mo_8O_{26}] \cdot Mo_8O_{26} \cdot 10H_2O$ (3-Hpt=5-(3-吡啶基)-四唑),通过 IR、X-射线单晶衍射实验确定了化合物的晶体结构,并将其化合物制成碳糊电极,对其电化学行为与电催化性能进行了研究。

1 实验部分

1.1 试剂与仪器

3-腈基吡啶(优级纯)购于 Alfa-Aesar 公司、氯化锌、氢氧化钠、浓盐酸、叠氮化钠、异丙醇、三氧化钼、 $Ni(OAc)_2 \cdot 4H_2O$ 均为分析纯,实验用水均为一次蒸馏水。NICOLET-5700 FT-IR 傅立叶变换红外光谱仪(KBr 压片,4 000~400 cm⁻¹)(美国 Nicolet 公司);vario EL III 元素分析仪(德国 elementar 公司);Rigaku RAPID Weissengberg IP 型单晶衍射仪;TGASDTA851 热分析仪;Rigaku DMAX2500 粉末衍射仪;CHI660 电化学工作站(上海辰华仪器公司),

改性的碳糊电极为工作电极,铂丝电极为辅助电极,银/氯化银为参比电极。

1.2 标题化合物的合成

首先按文献^[12]的方法合成配体(3-Hpt),然后将合成的配体 3-Hpt(0.029 g,0.2 mmol)、 MoO_3 (0.116 g,0.8 mmol)、 $Ni(OAc)_2 \cdot 4H_2O$ (0.050 g,0.2 mmol)和 5 mL 水搅拌混合,并密封于具有聚四氟乙烯内衬的 18 mL 不锈钢反应釜中,置于程序控温的反应炉中,8 h 内升至 160 ℃,并持续 3 d,然后以 3 ℃·h⁻¹ 的速率降到室温。经过滤,得到蓝色晶体(产率:约 58%)。元素分析值分别如下:根据化学式 $H_{70}N_{30}C_{36}O_{72}Mo_{16}Ni_4$ 计算值(%):C,11.24;H,1.84;N,10.93;实测值(%):C,11.48;H,1.94;N,10.85。IR(solid KBr pellet, ν/cm^{-1}): 3 420s, 1 627s, 1 570m, 1 490m, 1 461m, 1 385m, 1 322w, 1 264w, 1 215w, 1 143w, 1 112w, 1 076w, 1 043w, 1 015w, 967s, 914 sm, 841s, 813m, 711s, 669s, 558m, 525m, 475m。

1.3 晶体结构的测定

选取大小合适的配合物晶体,在带有石墨单色器的 Rigaku 18KWRAXIS-RAPID Weissengberg Imaging Plate 衍射仪上进行衍射实验。用 $Mo\text{ }K\alpha$ 射线($\lambda=0.071\text{ }073\text{ nm}$)和 ω 扫描方式,在一定的 θ 范围内收集到独立衍射点($R_{\text{int}}=0.028\text{ }0$),其中 $I>2\sigma(I)$ 的可观测点用于结构修正。衍射数据用 TEXSAN 程序进行还原处理,衍射强度经 L_p 因子和 Ψ 吸收校正。晶体结构由直接法和差值 Fourier 合成法解出。对所有非氢原子的坐标和各向异性温度因子进行最小二乘法修正。配合物的所有氢原子坐标由理论计算或差值 Fourier 分析找出,氢原子的坐标和各向同性温度因子参加最小二乘法修正。配合物采用的权重方案分别为 $w=[\sigma^2(F_o^2)+(0.073\text{ }7P)^2+3.33P]^{-1}$ 和 $P=(F_o^2+2F_c^2)/3$,所有的计算均采用 SHELX-97^[13]程序进行。化合物的晶体学参数列于表 1。

CCDC:943879。

1.4 碳糊电极的制备

石墨碳糊电极的制备:称取 30 mg 标题化合物,在 3 mL 无水乙醇中超声分散 20 min,向此悬浊液中加入 0.5 g 石墨粉,继续超声分散 10 min,然后将此合物置于真空烘箱中 50 ℃烘干 2 h。将烘干后的混合物在研钵中研磨 10 min,加入 0.5 mL 液体石蜡,用玻璃棒搅拌均匀。将所得混合物装入内径 3 mm 的石墨管中,所得碳糊电极的表面用称量纸擦平,电极端石蜡碳糊层的厚度约 1 mm。所制得的

表1 标题化合物的晶体学数据

Table 1 Crystal data and structure refinements for the title compound

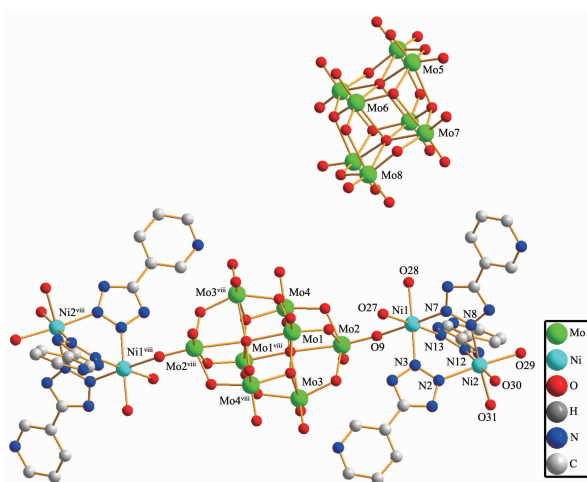
Empirical formula	C ₃₆ H ₆ Mo ₁₆ N ₃₀ Ni ₄ O ₇₂	μ / mm^{-1}	2.899
Formula weight	3 835.02	F(000)	1 846
Crystal system	triclinic	$\theta_{\min}, \theta_{\max} / (\circ)$	2.85~25.50
Space group	P $\bar{1}$	<i>h</i>	-16~16
<i>a</i> / nm	1.368 3(2)	<i>k</i>	-17~15
<i>b</i> / nm	1.429 3(3)	<i>l</i>	-17~17
<i>c</i> / nm	1.445 4(3)	R _{int}	0.028 0
$\alpha / (\circ)$	82.908(6)	Reflens collected	16 219
$\beta / (\circ)$	65.022(4)	Unique reflens	8 757
$\gamma / (\circ)$	69.752(4)	Observed reflens	8 186
<i>V</i> / nm ³	2.403 1(7)	Parameters	772
<i>Z</i>	1	GOOF	1.055
D _c / (g·cm ⁻³)	2.650	R ₁ , wR ₂	0.032 6, 0.088 9

电极简称为1-CPE。

2 结果与讨论

2.1 晶体结构

X-射线衍射实验数据解析结果表明该化合物是由双支撑形结构的 $[\{\text{Ni}_4(3-\text{Hpt})_6(\text{H}_2\text{O})_{10}\text{Mo}_8\text{O}_{26}\}]$ 阳离子, β 构型 $[\text{Mo}_8\text{O}_{26}]$ 簇阴离子及晶格水组成的。如图1所示, β 构型 $[\text{Mo}_8\text{O}_{26}]$ 簇单元通过中心对称的2个端基氧原子与2个双核配阳离子 $[\text{Ni}_2(3-\text{Hpt})_3(\text{H}_2\text{O})_5]^{4+}$ 中的镍原子配位形成双支撑形结构的配阳离子。其



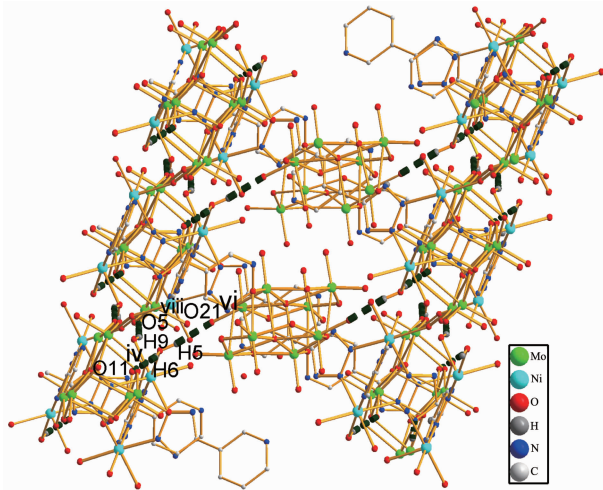
Uncoordinated waters and the hydrogen atoms are omitted for clarity; Symmetry code: ^{viii} -*x*+3, -*y*-1, -*z*-1

图1 $[\text{Ni}_4(3-\text{Hpt})_6(\text{H}_2\text{O})_{10}\text{Mo}_8\text{O}_{26}] \cdot \text{Mo}_8\text{O}_{26} \cdot 10\text{H}_2\text{O}$ 的晶体结构

Fig.1 Crystal Structure of $[\text{Ni}_4(3-\text{Hpt})_6(\text{H}_2\text{O})_{10}\text{Mo}_8\text{O}_{26}] \cdot \text{Mo}_8\text{O}_{26} \cdot 10\text{H}_2\text{O}$ showing 30% probability thermal ellipsoids

中, $[\text{Mo}_8\text{O}_{26}]$ 簇阴离子是通过8个 $[\text{MoO}_6]$ 八面体共边连接形成典型 β -型八钼酸盐,与钼原子配位的有4种氧:14个端氧(O_1),6个 μ_2 氧,4个 μ_3 氧,2个 μ_5 氧,键长范围从最短的端氧 O_1 -Mo键的0.1678(4)nm到最长 μ_2 O-Mo键的0.244 3(4)nm。标题化合物的O-Mo键长和Mo-O-Mo键角与文献^[3a]报道的 β - $\text{Mo}_8\text{O}_{26}^4-$ 相近。

Ni的二聚体是由2个Ni离子、3个间吡啶四唑配体及5个配位水组成。有机配体采取 μ_2 桥连配位方式,提供2个相邻N分别与Ni配位,与2个镍配位的3个配体像风扇的3个叶片,其二面角分别



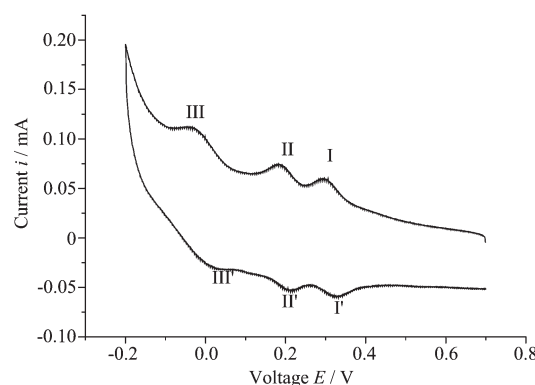
O29-H6...O11^{vii} (^{vii} *x*+2, -*y*-1, -*z*); O31-H9...O5^{viii} (^{viii} -*x*+3, -*y*-1, -*z*-1) and O29-H5...O21^{vi} (^{vi} -*x*+1, -*y*, -*z*); H atoms not participating in interactions have been omitted for clarity

图2 标题化合物中由氢键连接的三维超分子结构

Fig.2 3D supramolecular structure formed by hydrogen bonding

为 55.03° 、 61.03° 、 65.44° , 2个镍原子Ni1…Ni2原子间距为 0.3692 nm 。Ni1是由有机配体的3个N, $[\text{Mo}_8\text{O}_{26}]$ 簇阴离子的1个端氧及2个配位水的O完成较规则的六配位八面体构型, 而Ni2是与有机配体的3个N及3个配位水的O配位形成八面体配位构型。分别与每个Ni原子共面的4个原子的共面性均较好, 最小二乘平面的平均偏差为0.001 96~0.000 02 nm。相应的Ni-N键长为 0.2047(5) ~ $0.209\text{2(5)}\text{ nm}$, Ni-O键长为 0.2059(4) ~ $0.211\text{0(4)}\text{ nm}$ 。由以上数据可知Ni离子与配位原子接近于理想的八面体配位构型。

化合物中存在游离的 β 构型 $[\text{Mo}_8\text{O}_{26}]$ 簇阴离子及晶格水。双支撑形结构的配阳离子、游离的 β 构型 $[\text{Mo}_8\text{O}_{26}]$ 簇阴离子和游离的水分子之间存在丰富的氢键。取 $d(\text{H}\cdots\text{O})$ 值在 0.1930 nm 范围内的氢键作图(图3), 其中 $[\text{Ni}_4(3-\text{Hpt})_6(\text{H}_2\text{O})_{10}\text{Mo}_8\text{O}_{26}]^{4+}$ 阳离子之间通过配位水与相邻阳离子中的 Mo_8O_{26} 簇端基氧形成的氢键 $\text{O}29-\text{H}6\cdots\text{O}11^{\text{iv}}$ 、 $\text{O}31-\text{H}9\cdots\text{O}5^{\text{viii}}$ 。 $[\text{Mo}_8\text{O}_{26}^{4-}]$ 阴离子填充在由上述的二维层之间, 并通过配位水与相邻的 Mo_8O_{26} 簇阴离子的端基氧形成



$0.5\text{ mol}\cdot\text{L}^{-1}\text{ Na}_2\text{SO}_4$ and $1.0\text{ mol}\cdot\text{L}^{-1}\text{ H}_2\text{SO}_4$; scan rate: $250\text{ mV}\cdot\text{s}^{-1}$

图3 1-CPE 在溶液中的循环伏安图

Fig.3 CV of 1-CPE in solutions

的强氢键($\text{O}29-\text{H}5\cdots\text{O}21^{\text{vi}}$)作用得到三维超分子结构。三维超分子结构中除了上述的氢键外, 还存在着其它类型的氢键(见表2)。化合物中氢键的存在对此化合物的稳定起着较重要的作用。

2.2 1-CPE 的电催化性能

把标题化合物制成碳糊电极, 测定其循环伏安曲线如图4所示。

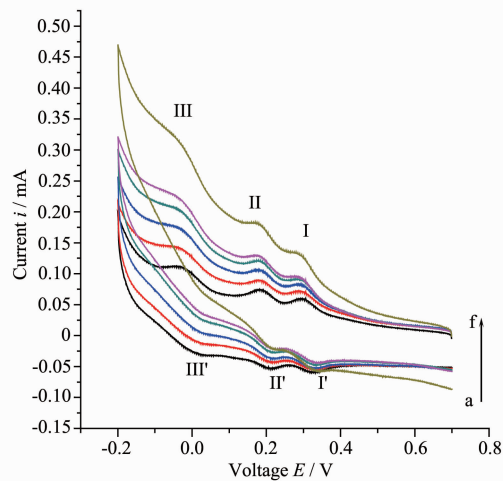
表2 标题化合物的氢键键长和键角数据

Table 2 Hydrogen bond lengths and angles in the title compound

D-H…A	$d(\text{D}-\text{H})/\text{nm}$	$d(\text{H}\cdots\text{A})/\text{nm}$	$d(\text{D}\cdots\text{A})/\text{nm}$	$\angle(\text{DHA})/^\circ$
O27-H1…O6 ⁱ	0.084 1	0.197 1	0.280 0	168.48
O27-H2…O14 ⁱⁱ	0.084 0	0.199 7	0.281 7	165.11
O28-H3…O5W ⁱⁱⁱ	0.082 0	0.223 8	0.304 8	169.35
O29-H5…O21 ^{vi}	0.843	0.191 3	0.273 5	164.30
O29-H6…O11 ^{iv}	0.840	0.190 8	0.271 3	160.26
O30-H7…O3W ^{vii}	0.816	0.203 0	0.280 7	153.94
O30-H8…O2W	0.818	0.198 7	0.275 5	161.22
O31-H9…O5H ^{viii}	0.822	0.192 9	0.271 9	161.22
O31-H10…O29	0.818	0.254 6	0.303 4	119.49
O31-H10…N11 ^{ix}	0.818	0.269 0	0.338 5	143.9
O3W-H15…O2W ^x	0.739	0.249 2	0.314 4	148.13
O4W-H17…O17	0.841	0.200 7	0.284 7	175.20
O4W-H18…N6	0.084 0	0.219 9	0.303 7	175.62
O5W-H20…O22	0.845	0.212 4	0.280 1	136.82
O5W-H19…O12 ^{xi}	0.851	0.195 7	0.280 2	172.00
N4-H4A…O8	0.860	0.251 7	0.315 1	131.29
N11-H11A…O31 ^{ix}	0.860	0.258 2	0.338 5	155.84
O28-H4…N14 ^x	0.821	0.219 8	0.285 7	137.39
O28-H4…O28 ^y	0.821	0.265 2	0.328 9	135.54

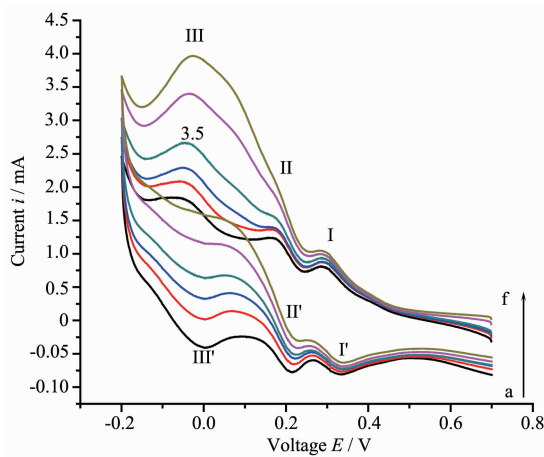
Symmetry code: ⁱ $x, -y, z-1/2$; ⁱⁱ $-x+2, -y, -z$; ⁱⁱⁱ $-x+1, -y, -z+1$; ^{iv} $-x+2, -y-1, -z$; ^v $-x+2, -y-1, -z$; ^{vi} $-x+1, -y, -z$; ^{vii} $x+1, y-1, z$; ^{viii} $-x+3, -y-1, -z-1$; ^{ix} $-x+2, -y-1, -z-1$; ^x $-x+1, -y+1, -z-1$; ^{xi} $x-1, y+1, z+1$.

由图3可观察到,在从-200到+700 mV电位范围内有3对氧化还原峰I-I', II-II'和III-III',其平均峰电位 $E_{1/2}=(E_{pc}+E_{pa})/2$ 分别为308.75 mV(I-I'), 195.15 mV(II-II'), 15.4 mV(III-III'),这3对氧化还原峰分别对应于钼的3个双电子转移过程^[10-11]。由此可见该化合物有较好的电化学活性,可对其电催化活性做进一步研究。我们选择NaNO₂和NaBrO₃作为底物来研究1-CPE的催化活性,对亚硝酸盐的催化如图4所示,随着NaNO₂浓度的增加,II、III还原峰电流明显增大,而与之相应的氧化峰



Electrolyte: 0.5 mol·L⁻¹ Na₂SO₄ and 1.0 mol·L⁻¹ H₂SO₄; Scan rate: 250 mV·s⁻¹; $c_{\text{NO}_2^-}$ / (mmol·L⁻¹): (a) 0 (b) 5 (c) 10 (d) 15 (e) 20 (f) 25

图4 1-CPE 在不同浓度 NaNO₂ 溶液中的循环伏安图
Fig.4 CV of 1-CPE in different concentrations of NaNO₂



Electrolyte: 0.5 mol·L⁻¹ Na₂SO₄ and 0.5 mol·L⁻¹ H₂SO₄; Scan rate: 100 mV·s⁻¹; $c_{\text{BrO}_3^-}$ / (mmol·L⁻¹): (a) 0 (b) 5 (c) 10 (d) 15 (e) 20 (f) 25

图5 1-CPE 在不同浓度 NaBrO₃ 溶液中的循环伏安图
Fig.5 CV of 1-CPE in different concentrations of NaBrO₃

电流明显减小,表明该修饰电极1-CPE在酸性水溶液中对亚硝酸盐还原有良好的催化活性。1-CPE对NaBrO₃还原的电催化活性测定由图5所示。由图5可知随着NaBrO₃浓度的增加,II、III还原峰电流明显增大,而与之相应的氧化峰电流明显减小,表明该电极对NaBrO₃的还原也具有较好的电催化效果。

2.3 标题化合物的TG分析和XRD分析

本实验在高纯氮气(载流速度45 mL·min⁻¹)下,以Al₂O₃粉为参比物,升温速度为10 °C·min⁻¹,测试了化合物从室温到800 °C的热重曲线(图6)。热重曲线显示,第一步失重台阶在50~168 °C,此时失重率为4.97%,与理论失去5个结晶水分子相吻合(理论值为4.68%)。第二步失重在168~264 °C,失重为4.72%,是理论失去5个配位水相对应(理论值为4.68%)。第三步失重在264~715 °C,累积失重为22.67%,对应失去配体3-Hpt(理论值为22.96%),随着温度继续升高,TG曲线无明显变化,最终的残余物可能为Ni₂Mo₈O₂₆。此外,为了验证测试所用配合

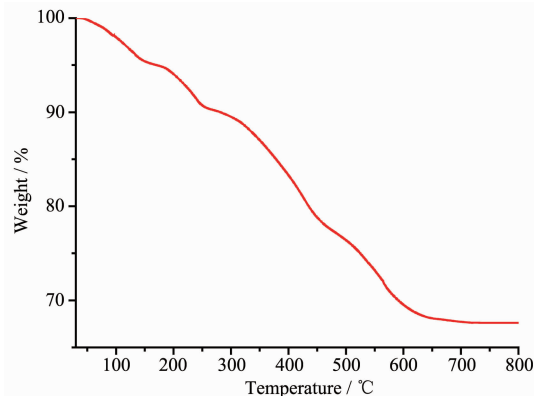


图6 标题配合物的热重曲线
Fig.6 Thermogravimetric curve of the title compound

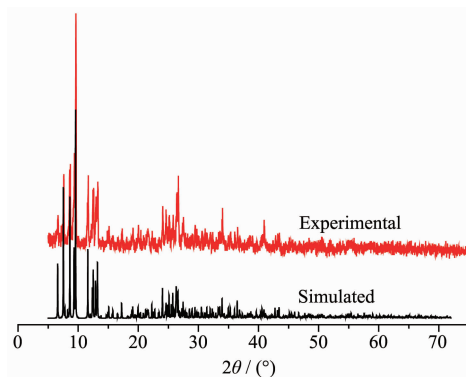


图7 标题配合物的粉末 X 射线衍射图

Fig.7 Experimental and simulated PXRD spectra of the title compound

物的纯度,我们对配合物进行了粉末XRD表征。如图7所示,粉末XRD图谱与单晶结构模拟图谱基本吻合,表明了所得的化合物基本为纯相。

参考文献:

- [1] (a)Pope M T, Müller A. *Angew. Chem., Int. Ed.*, **1991**,**30**(1): 34-48
 (b)Xu L, Qin C, Wang X L, et al. *Inorg. Chem.*, **2003**,**42**(23): 7342-7344
 (c)Müller A, Reuter H, Dillinger S. *Angew. Chem. Int. Ed.*, **1995**,**34**(21):2328-2361
 (d)Yaghi O M. *J. Am. Chem. Soc.*, **1998**,**120**(33):8571-8572
- [2] (a)Kong Z P, Weng L H, Tan D J, et al. *Inorg. Chem.*, **2004**, **43**(18):5676-5680
 (b)Hagrman P J, Hagrman D, Zubietta J. *Angew. Chem., Int. Ed.*, **1999**,**38**(18):2638-2684
 (c)Lu C Z, Wu C D, Zhuang H H, et al. *Chem. Mater.*, **2002**, **14**(6):2649-2655
 (d)Chen L J, He X, Xia C K, et al. *Cryst. Growth Des.*, **2006**,**6**(9):2076-2085
- [3] (a)Jones S, Liu H X, O' Connor C C, et al. *Inorg. Chem. Commun.*, **2010**,**13**(3):412-416
 (b)Dong P, Zhang Q K, Wang F, et al. *Cryst. Growth Des.*, **2010**,**10**(7):3218-3221
 (c)Wu X Y, Dong P, Yu R M, et al. *CrystEngComm*, **2011**, **13**(11):3686-3688
- (d)Yang M X, Chen L J, Lin S, et al. *Dalton Trans.*, **2011**,**40**(9):1866-1872
 (e)Yang M X, Lin S, Chen L J, et al. *Inorg. Chem. Commun.*, **2011**,**14**(10):1652-1655
 (f)Tripuramallu B K, Kishore R, DasI S K. *Inorg. Chim. Acta*, **2011**,**368**(1):132-140
- [4] Hu J, Burns R C. *J. Mol. Catal. A: Chem.*, **2002**,**184**(1/2): 451-464
- [5] Song N X, Rhodes C, Bartley J K, et al. *J. Catal.*, **2005**,**236**(2):282-291
- [6] Zhang Y, Li D L, Chen Y, et al. *Appl. Catal. B: Environ.*, **2009**,**86**(3/4):182-189
- [7] Liu X Z, Lin B Z, He L W, et al. *J. Mol. Struct.*, **2008**,**877**(1/2/3):72-78
- [8] Wang X L, Hu H L, Tian A X. *Cryst. Growth Des.*, **2010**,**10**(11):4786-4794
- [9] Liu H T, He P, Li Z Y, et al. *Electrochim. Commun.*, **2005**, **7**(12):1357-1363
- [10] LUO Ming-Hong(罗明洪), LIN Shen(林深), ZHANG Xiao-Feng(张晓凤), et al. *Acta Chim. Sinica(化学学报)*, **2010**, **68**(22):2290-2296
- [11] Wang P, Yuan Y, Han Z B. *J. Mater. Chem.*, **2001**,**11**(2): 549-553
- [12] WANG Li-Zhong(王立中), ZHANG Wen-Hua(张文华). *Shanxi Chem. Ind.(山西化工)*, **2004**,**24**(3):22-23
- [13] Sheldrick G M. *SHELXL-97, Program for X-ray Crystal Structure Refinement*, Göttingen University, Germany, **1997**.